

川南威远地区早寒武世氮循环及古环境意义

曹光耀^{1,2}, 刘宇^{1,2,3}, 侯明才^{1,3,4}, 陈安清^{1,3}, 徐胜林^{1,3}

1.成都理工大学沉积地质研究院, 成都 610059

2.成都理工大学沉积与生物地球化学国际研究中心, 成都 610059

3.成都理工大学油气藏地质及开发工程国家重点实验室, 成都 610059

4.成都理工大学深时地理环境重建与应用重点实验室, 成都 610059

摘要 【目的】寒武纪早期是地质历史时期早期动物辐射和海洋化学演化的关键时期。为了更加深入地了解寒武纪早期的川南地区古海洋氧化还原及氮循环演化。【方法】对川南威远地区筇竹寺组样品进行铁组分、氮同位素、硫同位素分析。【结果】结果表明, 威远地区在寒武纪早期受同期的海平面波动影响, 沉积环境经历了多次氧化还原转变。在寒武纪第二阶, 底层缺氧水体扩张至浅水陆架, 强烈的反硝化作用导致海水中 NO_3^- 持续被消耗, 最终导致威远地区氮循环以生物固氮作用为主。同时较低的 $\delta^{15}\text{N}$ 值反映寒武纪第二阶相对较低的生产力水平。寒武纪第三阶明显的 $\delta^{15}\text{N}$ 正偏表明海洋 NO_3^- 库的逐渐扩大以及表层氧化海水的扩张。【结论】沉积环境的氧化还原条件是威远地区筇竹寺组有机质富集的主要控制因素, 由海侵所引起的强烈缺氧条件导致筇竹寺组产生三次显著的有机质富集。海平面的变化最终影响着寒武纪早期华南内陆架地区的氧化还原环境、氮循环的演化及有机质的富集。

关键词 筇竹寺组; 氮同位素; 铁组分; 氧化还原; 有机质

第一作者简介 曹光耀, 男, 1998 年出生, 硕士研究生, 沉积学及古海洋研究, E-mail: caoguangyao98@163.com

通信作者 刘宇, 男, 副教授, E-mail: Liuyu17@cdut.edu.cn

中图分类号 P597 文献标志码 A

0 引言

寒武纪早期 (542~510 Ma) 是地球生命演化的关键时期。继埃迪卡拉软体动物群的繁盛与灭绝之后, 两侧对称及具矿物骨骼生物在此期间开始繁盛, 并在寒武纪第三阶 (Stage 3) 达到顶峰, 建立了与现今相类似的复杂生态系统, 这一重大的生物演化事件被称为“寒武纪生命大爆发”^[1-5]。生物的生存和演化与环境之间的关系较为密切, 一方面生物的生存需要适宜的环境 (氧气含量、养分的可用性、海洋化学条件等) 来维持其进行正常的生命活动^[6-8], 另一方面生物的活动也会在一定程度上导致其生存环境发生改变 (大气—海洋氧含量的波动、海洋硫酸盐含量的变化等)^[9-12]。因此, 探究海洋的化学状态是理解生物演化事件的重要基础, 而氧化还原环境的重建则是其中重要的一环。

收稿日期: 2022-10-12; 收修改稿日期: 2022-12-27

基金项目: 国家自然科学基金项目 (41802122, 42050104, 42272132) [Foundation: National Natural Science Foundation of China, No. 41802122, 42050104, 42272132]

在过去的研究中, 氧化还原敏感元素 (如 U、V、Mo) 及铁组分已被广泛应用于指示区域底层水体的氧化还原条件, 同时表明了一个非均质的寒武纪早期海洋, 即表层氧化的海水, 深部缺氧的海水及中间动态变化的硫化水体^[13-18]。然而, 氧化还原敏感元素及铁组分在指示氧化还原环境时存在一定局限性, 其指示广海的氧化还原演化的能力较为薄弱^[19-20]。氮元素作为生物的限制性营养元素, 在不同的氧化还原环境下, 氮的生物地球化学循环模式和氮同位素的分馏显著不同, 保存在海洋沉积物中的氮同位素组成 ($\delta^{15}\text{N}$) 具有表征广海氧化还原条件和评估古生产力水平的潜在能力^[21-23]。目前, 华南地区利用氮同位素来表征寒武纪早期海洋氧化还原演化已经进行了一些工作, 但是多数研究集中在相对深水的斜坡—盆地地区 (如贵州道坨、贵州印江、湖南袁家等)^[24-28]。这些研究表明由寒武纪幸运阶—第三阶逐渐下降的 $\delta^{15}\text{N}$ 值, 其中幸运阶较高的 $\delta^{15}\text{N}$ 值被解释为强烈的不完全反硝化作用或厌氧氨氧化作用^[28-30], 第二阶—第三阶较低的 $\delta^{15}\text{N}$ 值被解释为生物固氮作用或部分氨同化吸收^[24,31-32]。氮同位素对海洋表层溶解氧含量具有较高的敏感性^[33-34], 而且浅水陆架地区海洋化学状态的变化能够很好地响应海平面的升降以及氧化还原界面的变化, 因此针对陆架地区开展氮同位素研究, 能够有效地帮助人们认识海洋氧化还原演变过程, 同时综合利用氮同位素和铁组分指标能够更好地约束海洋表层至底层水体的氧化还原状态。因此, 为了更加深入了解华南寒武纪早期海洋化学状态演化, 本次研究采集了上扬子威远地区筇竹寺组样品, 利用多指标的方法 (铁组分、氮同位素、硫同位素等), 重建寒武纪早期威远地区氧化还原演化过程及氮循环模式, 并结合前人的研究结果进一步探讨筇竹寺泥岩有机质的富集机制。

1 地质概况

华南克拉通在寒武纪早期位于古纬度 30°N 附近 (图 1a), 主要由扬子板块和华夏板块两部分构成 (图 1b)。扬子板块北以秦岭—大别造山带为界, 南以红河断裂带为界, 西以鲜水河断裂带为界, 华夏板块则以南东方向沿着江山—绍兴断裂带分布^[37-38]。随着新元古代裂谷事件的发生, 扬子板块在埃迪卡拉纪—寒武纪过渡时期从单一的裂谷盆地逐渐演化为由北西向南东展布的被动大陆边缘盆地^[24]。进而形成了三种不同的沉积格局, 分别为浅水台地相, 过渡带, 斜坡—盆地相^[13,39-40] (图 1b)。此外, 由于埃迪卡拉纪晚期至寒武纪早期发生的兴凯断裂作用, 浅水陆架内部形成了一系列内陆架盆地 (如绵阳—长宁拉张槽)^[37,41]。从沉积序列上看, 在埃迪卡拉过渡时期, 浅水陆架主要以碳酸盐岩沉积为主 (如灯影组和朱家菁组), 中—深水的斜坡和盆地相地区, 主要以硅质岩沉积为主 (如留茶坡组 and 老堡组)^[2,42-44]。在寒武纪第二期—第三期, 伴随着全球性的海侵事件, 整个扬子台地广泛沉积了一系列富有

机质泥岩或页岩^[17,18,41,45]。

本次研究地区为四川盆地威远地区，其位于上扬子内陆架盆地西缘上斜坡（图 1b）。研究样品采集自该地区的 W207 钻井岩心，钻井岩心自下而上岩石地层单元为灯影组、筇竹寺组，二者不整合接触。其中灯影组主要由白云岩组成，筇竹寺组主要由黑色页岩，粉砂质泥岩以及泥质粉砂岩组成（图 1c）。通过与具备完整地层演化框架及年代学约束的硝滩剖面进行对比，基于样品高分辨的 TOC 演化曲线与硝滩剖面高度的一致性，本次研究确定 W207 钻井筇竹寺组底部起始沉积时间约为~526.5 Ma，以及筇竹寺组上部寒武纪第三阶的时间界限（图 2）。

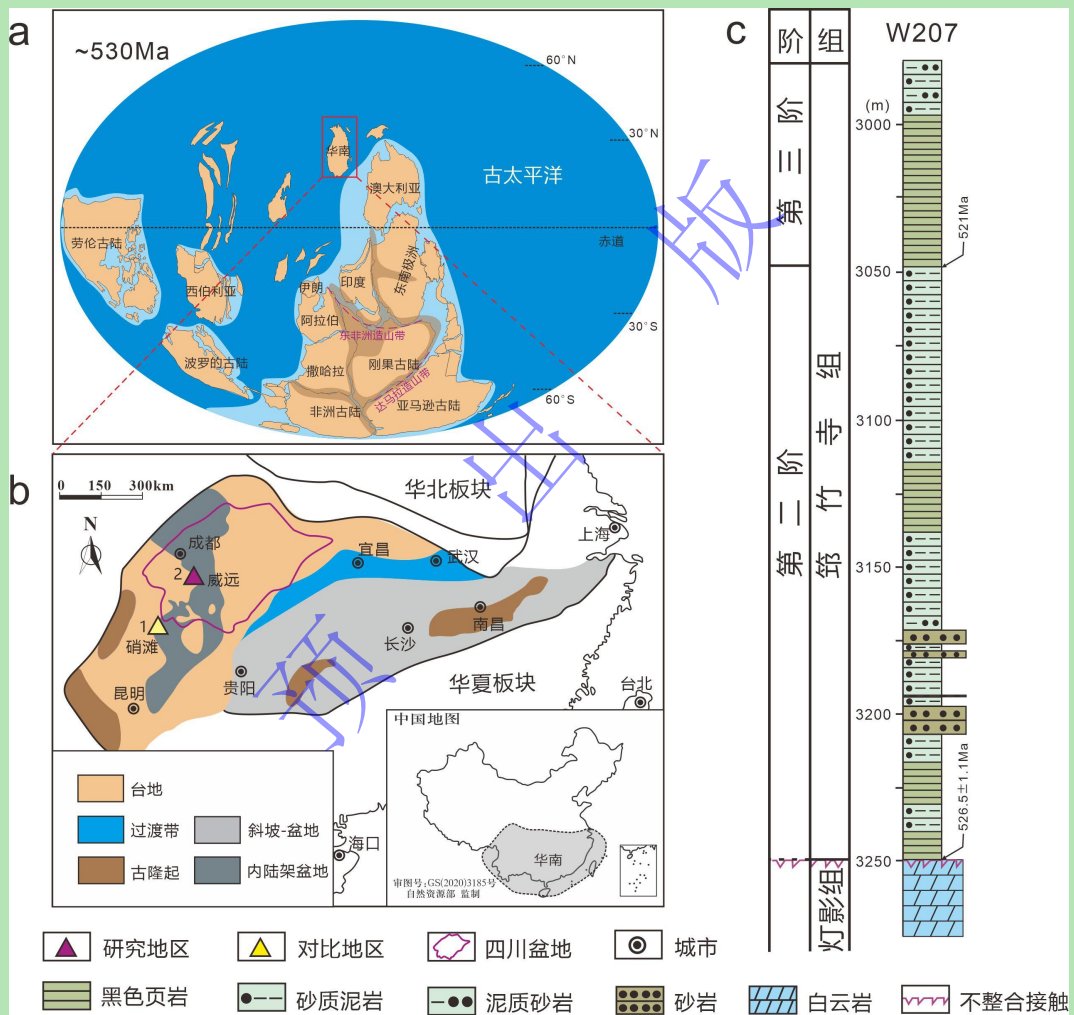


图 1 (a) 寒武纪早期的全球古地理图（修改自文献[35]）；(b) 寒武纪早期扬子台地古地理图（修改自文献[16,36]）；黄色三角形代表研究区位置，紫色圆形代表用于对比的硝滩剖面；(c) 筇竹寺组地层序列；测年数据引自文献[46]

Fig.1 (a) Early Cambrian global paleogeography (modified from reference [35]); (b) Paleogeographic map of the Yangtze Platform during the Early Cambrian (modified from references [16,36]); The yellow triangle represents the studied location and the purple circle represents the Xiaotan section; (c) Stratigraphic sequences of the Qiongzhusi Formation. The age data are from reference [46]

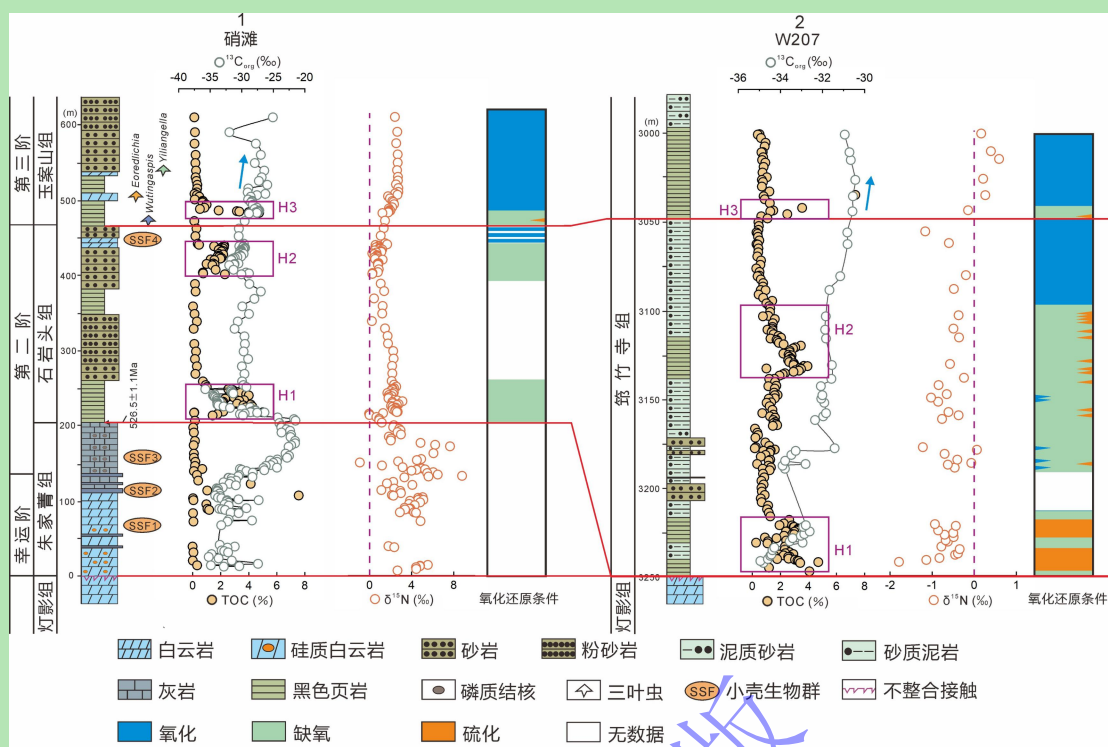


图2 W207井与硝滩剖面地层对比图

硝滩剖面 TOC、 $\delta^{13}C_{org}$ 、 $\delta^{15}N$ 数据引自文献[30]; 测年数据引自文献[37,47]; W207 井筇竹寺组 $\delta^{13}C_{org}$ 数据引自文献[48]; 紫色矩形代表 3 个高 TOC 层位: H1、H2、H3

Fig.2 Stratigraphic correlation between well W207 and Xiaotan section

The TOC, $\delta^{13}C_{org}$, and $\delta^{15}N$ data of the Xiaotan section are from reference [30], the age data are from references [37,47], and the $\delta^{13}C_{org}$ data of well W207 in the Qiongzhusi Formation are from reference [48]. The purple rectangles represent the three high-TOC layers: H1, H2, and H3

2 样品与分析方法

本次研究共采集 203 个岩心样品, 所有样品进行总有机碳 (TOC) 含量测试, 以便进行地层对比^[13]。挑选 44 个样品进行铁组分、氮同位素、硫同位素测试。在进行地球化学分析前, 所有样品利用去离子水清洗去除表面杂质后, 粉碎至 200 目以下, 以备地球化学分析。样品 TOC 含量、去碳酸盐部分总氮 (TN_{decarb})、总碳 (TC_{decarb}) 含量均在中国科学院广州地球化学研究所有机地球化学国家重点实验室完成。氮同位素测试在自然资源部第三海洋研究所海洋生物与生态实验室分析完成。铁组分及硫同位素在中国地质大学 (武汉) 生物地质与环境地质国家重点实验室分析完成。

2.1 TOC 含量

将约 0.1 g 样品粉末置于陶瓷坩埚中, 加入 1:1 盐酸 (HCl) 去除碳酸盐组分, 随后用去离子水清洗至中性, 并在 60°C 下烘干。TOC 含量利用 LECO CS-344 碳硫分析仪进行分析。使用实验室内部标准 B4016 (TC=2.24%) 进行数据监测, 分析精度优于 0.1%。

2.2 铁组分和硫同位素

Fe 组分测试主要针对总铁 (Fe_T) 和高活性铁 (Fe_{HR}) 开展, 其中 Fe_{HR} 主要包括黄铁矿铁 (Fe_{py})、碳酸盐铁 (Fe_{carb})、磁铁矿铁 (Fe_{mag}) 和氧化物或氢氧化物铁 (Fe_{ox})。 Fe_{py} 是利用 Ag_2S 沉淀中硫的质量百分比计算得到, 其中 Ag_2S 沉淀通过铬还原法制取^[49]。 Fe_{carb} 、 Fe_{mag} 、 Fe_{ox} 含量通过程序萃取得到^[50]。 硫同位素 ($\delta^{34}S_{py}$) 测试通过将 Ag_2S 沉淀与过量地 V_2O_5 混合, 进行灼烧得到。 测试仪器为 Thermo Fisher Scientific Delta V Plus 同位素比质谱仪。 使用三个 IAEA 国际标准 (S1: -0.3‰; S2: 22.65‰; S3: -32.5‰) 进行数据监测, 分析精度优于 0.2‰。

2.3 TN_{decarb} 含量、 TC_{decarb} 含量、氮同位素

称取约 0.1 g 样品粉末放入离心管中, 加入 1:1 盐酸去除碳酸盐。 称取约 15 mg 已除去碳酸盐的样品, 进行 TN_{decarb} 含量、 TC_{decarb} 含量测试。 测试仪器为 VARIO EL cube 元素分析仪, 使用实验室内部标样 IVA3380 ($TC=1.86\%$, $TN=0.122\%$) 进行数据监测, 分析精度优于 0.3%。

根据 TN_{decarb} 含量称取 10~15 mg 去碳酸盐样品, 进行 N 同位素分析。 测试仪器为 Thermo Fisher Delta V Plus 气体同位素比质谱仪, 使用标样 ACET ($\delta^{15}N=-4.21\%$) 进行数据监测, 分析精度优于 0.3‰。

3 结果

所有的地球化学结果见附表 1, 其中关键的地球化学指标见图 3。 TOC 含量变化范围为 0.20%~7.35% (平均值为 1.68%); Fe_T 含量变化范围为 1.52%~5.37% (平均值为 3.80%); Fe_{HR}/Fe_T 变化范围为 0.27~0.25 (平均值为 0.46); Fe_{py}/Fe_{HR} 变化范围为 0.28~0.92 (平均值为 0.72); $\delta^{15}N$ 变化范围为 -1.79‰~0.59‰ (平均值为 -0.51‰); $\delta^{34}S_{py}$ 变化范围为 -18.49‰~42.53‰ (平均值为 0.61‰)。

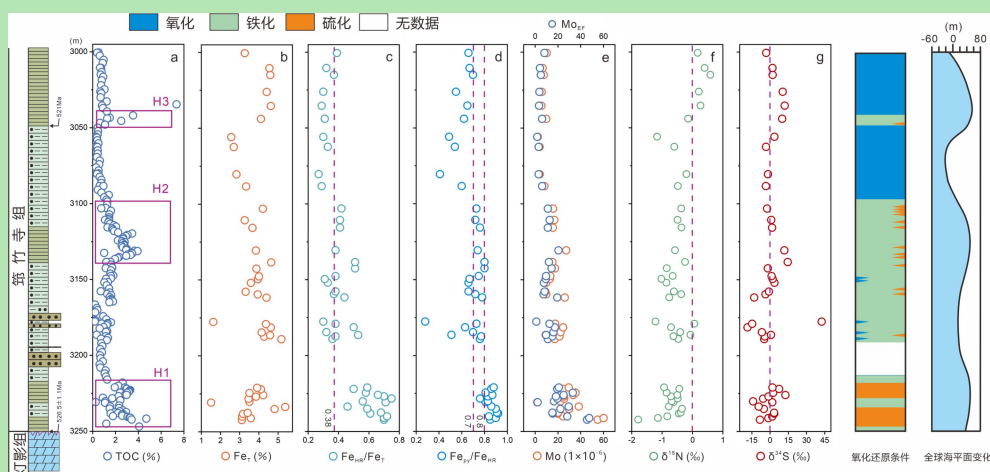


图3 W207井筇竹寺组地球化学参数

Mo 含量引自文献[48]; 全球海平面变化曲线修改自文献[51]; 紫色矩形代表3个高 TOC 层位: H1、H2、H3

Fig.3 The geochemical data of well W207 in the Qiongzhusi Formation

The Mo contents are from reference [48] and the global sea-level change curve are modified from reference [51]. The purple rectangles represent the three high-TOC layers: H1, H2, and H3

4 讨论

4.1 威远地区寒武纪早期古海洋氧化还原环境

Fe 组分指标目前已广泛应用于指示古海洋的氧化还原条件^[13-14,20,52-53]。为了保证指标的有效性, Fe 组分指标建议使用在总铁含量大于 0.5% 的样品中^[54]。本次研究样品总铁含量变化范围为 1.52%~5.37% (平均值为 3.80%) (图 3b), 表明 Fe 组分数据是可靠的, 可被用来判断古海洋氧化还原条件。Fe_{HR}/Fe_T 小于 0.38 和大于 0.38 分别指示氧化条件, 缺氧条件^[20]。在缺氧条件下, Fe_{py}/Fe_{HR} 可进一步区分水体的硫化和铁化状态, Fe_{py}/Fe_{HR} 小于 0.7~0.8, 指示缺氧铁化的条件, Fe_{py}/Fe_{HR} 大于 0.7~0.8, 指示缺氧硫化的条件^[20,55]。

Zhao *et al.*^[48]利用筇竹寺组氧化还原敏感元素 Mo 对威远地区进行了氧化还原重建, 结果表明威远地区在筇竹寺组沉积时期经历了多期的氧化还原波动。这一认识整体上与本次研究 Fe 组分所指示的结果相一致。筇竹寺组底段(3 200~3 250 m)较高的 Fe_{HR}/Fe_T (0.46~0.75, 平均值为 0.63), Fe_{py}/Fe_{HR} (0.76~0.92, 平均值 0.85) (图 3c, d), 指示强烈缺氧硫化的沉积环境, 这与同期强烈的 Mo 富集相一致。筇竹寺组中段(3 100~3 200 m)高度动态的变化 Fe_{HR}/Fe_T (0.30~0.53, 平均值为 0.40), Fe_{py}/Fe_{HR} (0.28~0.80, 平均值为 0.63), 表明以间歇性硫化为主要的水体化学条件, 且同时存在间歇性氧化(图 3c, d)。但是, 同期 Mo 元素并没有产生明显富集(图 3e)。这一现象可能是同期陆架地区或整个华南盆地较小的 Mo 储库所致^[15,45]。考虑到研究区位于相对浅水的陆架地区, 而且靠近内陆架盆地, 一个更加局限的环境可能会导致局部海水中 Mo 元素的匮乏^[36]。筇竹寺上段(3 000~3 100 m)所有样品均

表现出较低的 Fe_{HR}/Fe_T (0.27~0.39, 平均值为 0.32), Fe_{py}/Fe_{HR} (0.41~0.70, 平均值为 0.59), 反映持续的氧化条件, 这与同期较低 Mo 含量相一致 (图 3c~e)。基于铁组分重建的沉积环境整体由缺氧向氧化转变的过程, 同样得到样品 $\delta^{13}C_{org}$ 的支持。样品 $\delta^{13}C_{org}$ 曲线在筇竹寺组整段表现出明显的正偏, 而且这一 $\delta^{13}C_{org}$ 正偏现象同样出现在硝滩剖面 (图 2), 表明海洋氧化还原状态逐渐向氧化过渡。有机质在耗氧降解过程中, 通常优先损失较轻的 ^{12}C , 从而导致沉积物中富含较重的 ^{13}C [56]。值得注意的是, 寒武纪第三阶早期 Ni-Mo 多金属富集层 (ca. 521 Ma) 暗示整个扬子台地发生过一次短暂的缺氧事件 [36,37,57-58]。然而这次显著的缺氧事件并没有记录在本次样品的 Fe 组分数据中, 这可能受限于样品较低的分辨率。但是, 高分辨的 TOC 曲线在寒武纪第三阶早期显示出一次显著的升高 (图 3a), 而且这一现象同时出现在扬子台地其他地区 [16,30,36,42], 可能间接的反映了此次短暂的缺氧事件。同时此次缺氧事件恰好对应着全球海平面升高, 由此推断这一缺氧事件的出现可能源于同期的海侵 (图 3)。此外, 结合威远地区氧化还原环境整体演化以及全球海平面变化特征, 发现氧化还原环境的转变与海平面的升降具有良好的对应关系 (图 3), 因此海平面的变化可能对威远地区底层水体氧化还原条件起着重要的控制作用。

4.2 W207 井氮同位素信号有效性评估

陆源输入、早期成岩过程微生物的降解、晚成岩过程中热演化作用可能会造成沉积物中的氮的损失, 进而改变其同位素信号 [33,59]。因此, 在使用氮同位素重建古海洋环境时, 首先要对沉积物的 $\delta^{15}N$ 值进行有效性评估。

陆源有机质输入可能会造成海相沉积物内氮同位素值发生改变 [60-61]。然而, 陆生植物在泥盆纪后才发生大规模繁盛, 因此陆源有机质的输入对本次样品氮同位素信号的影响可以忽略 [24,62]。同时, $TN_{decarb} - TC_{decarb}$ 较高的相关性也在很大程度上表明沉积物中的氮来自海洋而非陆源 [25]。

本次研究结果显示, 样品 TN_{decarb} 和 TC_{decarb} 之间具有较强的线性关系 (图 4a), 表明沉积物中的氮主要来自有机质 [61]。其中与 Y 轴的正截距可能代表与黏土矿物结合的氮组分 [24,28]。这一部分氮主要源于早期成岩过程中有机质被微生物降解被释放的氮组分, 随后被黏土矿物吸附而保存下来 [63-64]。考虑到这一过程发生在一个相对封闭体系内, 氮组分并未发生损失, 因此该过程对氮同位素值的影响较小 [18,31,64]。

有机质热演化会造成氮的损失以及 $\delta^{15}N$ 值的升高 [23,33,59-60]。与现代海洋 C/N 比值 (~6.6) 相比, 本次样品表现出较高的 C/N 值 (8.7~41.5, 平均值为 20.2), 这可能表明氮含量在早期成岩或后期热演化过程中发生了损失。然而, 样品 $\delta^{15}N$ 值与 C/N_{decarb} 、 TN_{decarb} 含量、 TC_{decarb}

含量之间均不存在明显的线性相关性（图 4b~d），说明氮同位素值并没有受到后期埋藏热演化作用的改造，因此可以用于水体氧化还原环境的重建以及解释氮的生物地球化学循环。

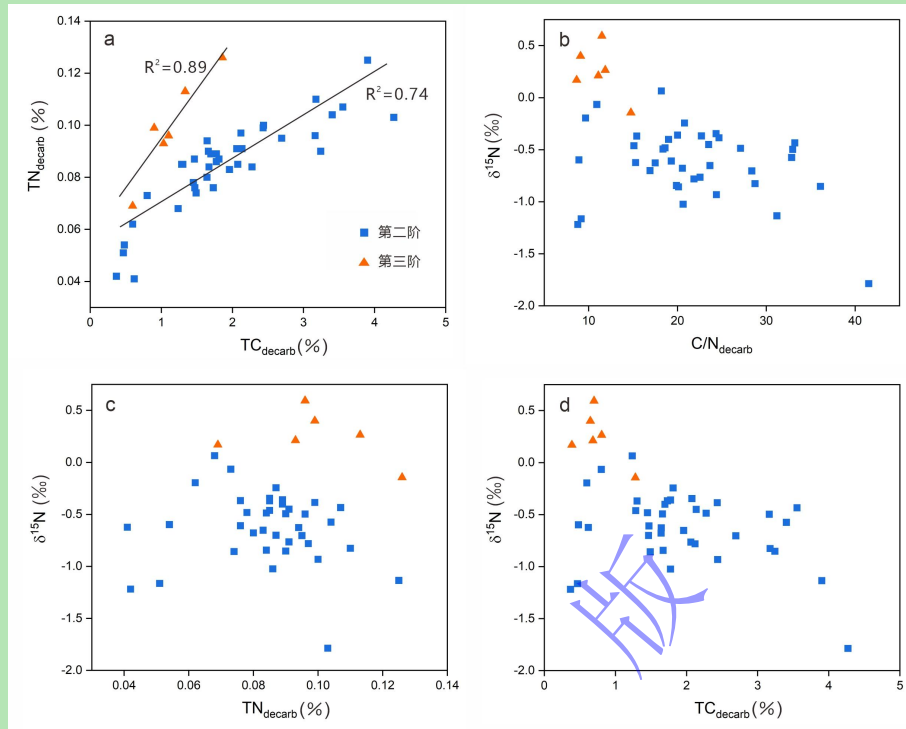


图 4 W207 井氮同位素信号有效性评估

(a) $TN_{decarb}-TC_{decarb}$; (b) $\delta^{15}N-C/N_{decarb}$; (c) $\delta^{15}N-TN_{decarb}$; (d) $\delta^{15}N-TC_{decarb}$

Fig.4 Evaluation of the availability of the nitrogen isotope signal in well W207

4.3 W207 井氮同位素对古海洋沉积环境的指示

氮元素不仅是氨基酸、核酸、色素等生物分子的重要成分，同时也是生物的限制性营养元素。在不同的氧化还原环境下，氮的生物地球化学循环模式以及氮同位素组成具有明显不同^[33-34]。因此，保存在沉积物中的氮同位素组成同时具有示踪氧化还原环境和重建古生产力水平的潜在能力^[23,33,65]。

本次研究结果显示，寒武纪第二阶所有样品具有较低的 $\delta^{15}N$ 值（-1.79‰~0.06‰，平均值为-0.63‰）（图 3f），这表明研究区海洋中氮循环主要以生物固氮作用为主，同时也反映海洋中较小的 NO_3^- 储库^[25,63,66]（图 5b），而且这一现象同样出现在位于内陆架地区的硝滩剖面。结合硝滩剖面氮同位素记录（图 2），幸运阶具有较高的 $\delta^{15}N$ 值（高达 9‰），这可能表明浅水陆架甚至是整个扬子海同期存在较大的 NO_3^- 储库，强烈的不完全反硝化作用或厌氧氨氧化作用导致海水剩余 NO_3^- 库中富集 ^{15}N ，进而被生物利用并保存在沉积物中^[24,30]（图 5a）。对于幸运阶—第二阶 NO_3^- 储库明显的减小，一个可能的解释是，底层缺氧水体在随海侵逐渐扩张的过程中，持续的反硝化作用导致海水表层透光层中的 NO_3^- 不断被消耗，从而导致研究区 NO_3^- 库的缺乏，最终导致生物主要向大气摄取氮^[18,67]。此外，寒武纪第二阶较低的

$\delta^{15}\text{N}$ 值同时也暗示一个相对缺氧的海洋环境^[30]，这得到同期 Fe 组分数据的支持（图 3）。筇竹寺组底段较高的 $\text{Fe}_{\text{HR}}/\text{Fe}_{\text{T}}$ （0.46~0.75，平均值为 0.63，图 3c），表明底层缺氧水体在寒武纪第二阶已经扩展至浅水台地，同时表明化学变化层的升高（图 5b）。同期较高的 $\text{Fe}_{\text{py}}/\text{Fe}_{\text{HR}}$ （0.76~0.92，平均值 0.85）以及较低的 $\delta^{34}\text{S}_{\text{py}}$ （低至-13.91‰）（图 3d, g），反映水柱中发生了强烈的细菌硫酸盐还原作用，促使大量的 H_2S 被释放至水柱中，进而导致广泛的硫化环境^[63]。此外，来自硝滩剖面大海段（ca. 530~528 Ma）碳酸盐岩样品显著的 U 同位素负偏表明寒武纪第二阶早期华南盆地甚至全球海洋底层缺氧水体存在扩张趋势^[68]。随后，在硝滩剖面石岩头组底部（ca. 526 Ma）， $\delta^{13}\text{C}_{\text{carb}}$ 和 $\delta^{13}\text{C}_{\text{org}}$ 发生解耦^[30]，且伴随着明显的 $\delta^{13}\text{C}_{\text{org}}$ 负偏（图 2）。这种 $\delta^{13}\text{C}_{\text{org}}$ 负偏同样表现在本次研究筇竹寺组样品中（图 2），其被解释为化学自养微生物或甲烷厌氧古菌富含 ^{12}C 生物量对总有机质的输入^[41,69]。以上证据均表明一个相对缺氧的沉积环境，这与样品筇竹寺组底部离散较负的 $\delta^{15}\text{N}$ 值（小于-1‰）相一致^[18,25,28]（图 3f）。

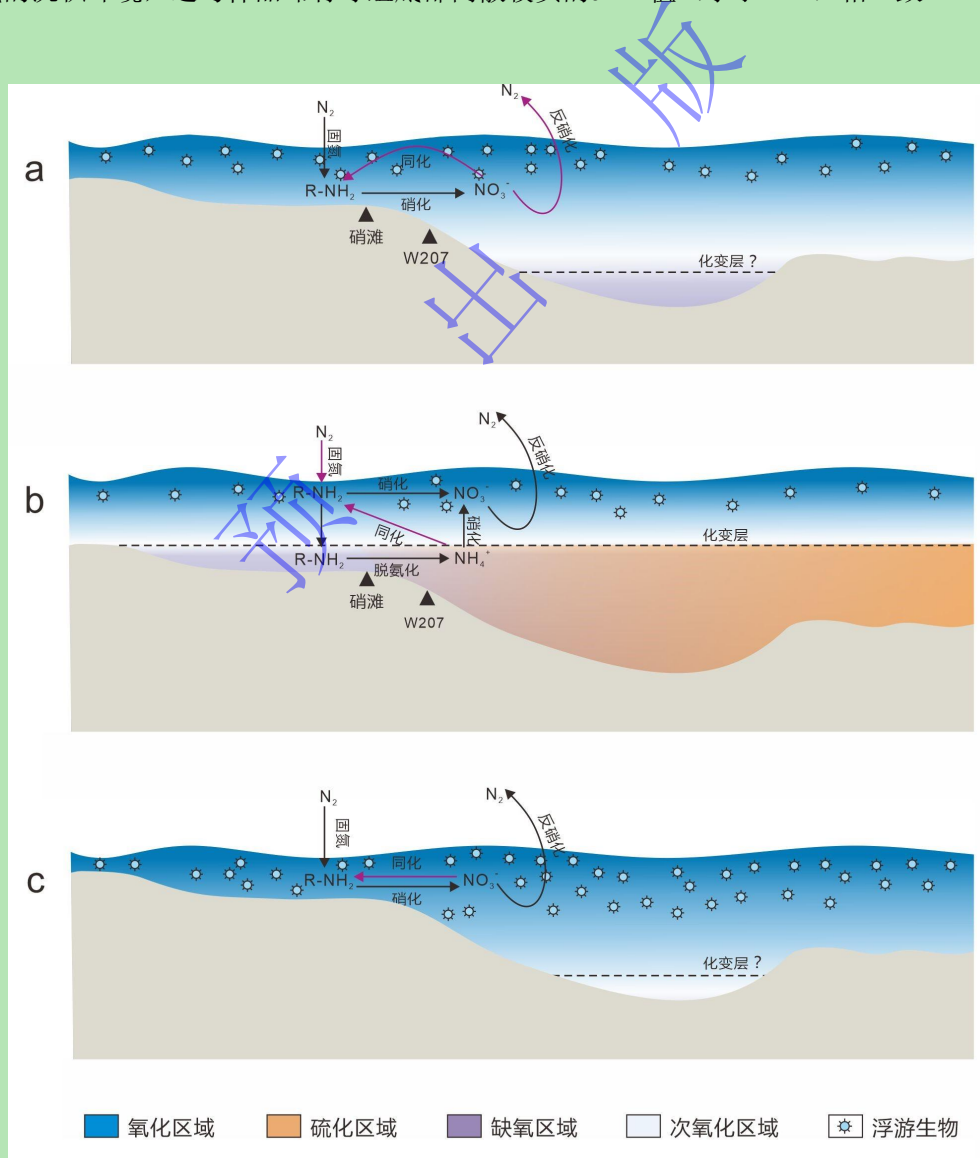


图5 寒武纪早期扬子台地浅水陆架海洋化学状态及氮循环模式图

(a) 幸运阶; (b) 第二阶段; (c) 第三阶; 紫色线条代表主导的氮循环途径

Fig.5 Model diagram of the marine chemistry and nitrogen cycle in the shallow water shelf of the Yangtze Platform in the Early Cambrian

(a) Fortunian; (b) Stage 2; (c) Stage 3; The purple lines represent the dominant nitrogen cycle pathways

寒武纪第三阶, 筇竹寺组样品和硝滩剖面样品均出现明显的氮同位素正偏(图2), 表明威远地区甚至整个内陆架地区 NO_3^- 库逐渐扩大, 生物可利用氮源主要来自 NO_3^- (图5c)。同时样品较低的 $\text{Fe}_{\text{HR}}/\text{Fe}_{\text{T}}$ 以及明显的 $\delta^{34}\text{S}_{\text{py}}$ 正偏(图3c, g), 表明沉积环境逐渐向氧化过渡, 这一现象同样得到硝滩剖面氧化还原重建的支持(图2)。此外, 扬子台地一致的有机碳同位素正偏^[41]以及来自西伯利亚碳酸盐岩地层显著的 U 同位素正偏以及耦合变化的 C、S 同位素均支持全球表层海水的逐步氧化^[6,10,70]。

4.4 筇竹寺组泥岩有机质富集的控制因素

沉积物中有机质的富集主要受控于沉积环境的氧化还原条件、初级生产力^[71-72]。较高的生产力可以提供丰富的有机质来源, 缺氧的沉积环境可为有机质提供良好的保存条件^[73]。基于筇竹寺组样品高分辨的 TOC 曲线(图3a), 可以识别出三个显著的高 TOC 层位(H1、H2、H3), 同时这三个层位整体上对应着强烈的缺氧甚至是硫化的沉积条件, 而且这一特征同样出现在硝滩剖面。生物标志化合物表明, 埃迪卡拉纪—早寒武纪时期, 海水透光层中的初级生产者主要为真核藻类^[26]。由于真核生物缺少固氮能力, 并且优先同化周围环境中的 NO_3^- , 因此海水中 NO_3^- 含量对真核生物的繁盛具有至关重要的作用^[24,32,74]。威远地区在寒武纪第二阶段较小的 NO_3^- 储库, 可能在一定程度上暗示同期相对较低的生产力水平。寒武纪第三阶较大且稳定的 NO_3^- 储库以及更加氧化的水体环境, 可能促进了同期后生动物的繁盛及生产力的提高^[4,16,75]。然而, 由筇竹寺组微量元素(Cu、Zn、Ni)所指示的生产力结果却与之相反。寒武纪第二阶段较高的微量元素富集系数被解释为相对较高的生产力水平, 而寒武纪第三阶微量金属元素的亏损则被解释为低的生产力水平^[48]。对此, 本次研究认为寒武纪第二阶段较高的微量元素含量可能源于同期显著的缺氧条件导致的局部富集, 不一定真实的代表生产力水平。综上所述, 高 TOC 层位 H1、H2 有机质的大量富集主要归因于强烈的缺氧甚至是硫化条件, 而并非是较高的生产力水平。虽然样品氮同位素表明寒武纪第三阶具有较高的生产力水平, 但是一个相对氧化的沉积环境可能导致了有机质无法大量保存。基于 TOC 含量变化与氧化还原环境演化较高的一致性, 本次研究认为威远地区筇竹寺组有机质的富集主要受控于沉积环境的氧化还原条件, 由海平面上升所导致的三次强烈缺氧环境导致了有机质的大量富集。

5 结论

(1) 寒武纪第二阶—第三阶，威远地区发生了三次明显的缺氧事件，且与同期的海平面升高相一致。寒武纪第二阶，威远地区海洋氮循环主要以固氮作用为主，具有较小的 NO_3^- 储库以及相对较低的生产力水平；寒武纪第三阶，海洋表层 NO_3^- 储库逐渐扩张，沉积条件逐渐过渡到稳定的氧化环境。

(2) 威远地区筇竹寺组有机质富集主要受控于沉积环境的氧化还原条件，由海侵所导致的强烈缺氧条件促使了筇竹寺组三次显著的有机质富集。

(3) 威远地区和硝滩地区一致的 TOC、氧化还原、氮同位素演化特征显示上扬子内陆架地区具有类似的环境演化和有机质富集模式，海平面是影响上述变化的最重要因素。

致谢 感谢评审专家提出的建设性修改意见。感谢编辑部老师的认真负责，使得文章更加完善。感谢川庆钻探工程有限公司地质勘探开发研究院对本次研究的样品支持。

参考文献 (References)

- [1] 袁训来, 庞科, 唐卿, 等. 复杂生物的起源和早期演化[J]. 科学通报, doi: 10.1360/TB-2022-0804. [Yuan Xunlai, Pang Ke, Tang Qing, et al. The origin and early evolution of complex organism[J]. Chinese Science Bulletin, 2022, doi: 10.1360/TB-2022-0804.]
- [2] Li Z H, Zhang M, Chen Z Q, et al. Early Cambrian oceanic oxygenation and evolution of early animals: A critical review from the South China Craton[J]. Global and Planetary Change, 2021, 204: 103561.
- [3] 朱茂炎, 赵方臣, 殷宗军, 等. 中国的寒武纪大爆发研究: 进展与展望[J]. 中国科学 (D辑): 地球科学, 2019, 49 (10): 1455-1490. [Zhu Maoyan, Zhao Fangchen, Yin Zongjun, et al. The Cambrian explosion: Advances and perspectives from China[J]. Science China (Seri. D): Earth Sciences, 2019, 49(10):1455-1490.]
- [4] Shu D G, Isozaki Y, Zhang X L, et al. Birth and early evolution of metazoans[J]. Gondwana Research, 2014, 25(3): 884-895.
- [5] Knoll A H, Carroll S B. Early animal evolution: Emerging views from comparative biology and geology[J]. Science, 1999, 284(5423): 2129-2137.
- [6] Dahl T W, Connelly J N, Li D, et al. Atmosphere-ocean oxygen and productivity dynamics during early animal radiations[J]. Proceedings of the National Academy of Sciences of the United States of America, 2019, 116(39): 19352-19361.
- [7] Mills D B, Francis W R, Canfield D E. Animal origins and the Tonian Earth system[J]. Emerging Topics in Life Sciences, 2018, 2(2): 289-298.
- [8] Sperling E A, Frieder C A, Raman A V, et al. Oxygen, ecology, and the Cambrian radiation of animals[J]. Proceedings of the National Academy of Sciences of the United States of America, 2013, 110(33): 13446-13451.
- [9] Li D D, Zhang X L, Hu D P, et al. Multiple S-isotopic constraints on paleo-redox and sulfate concentrations across the Ediacaran-Cambrian transition in South China[J]. Precambrian Research, 2020, 349: 105500.
- [10] Dahl T W, Connelly J N, Kouchinsky A, et al. Reorganisation of Earth's biogeochemical cycles briefly oxygenated the oceans 520 Myr ago[J]. Geochemical Perspectives Letters, 2017, 3(2): 210-220.
- [11] Logan G A, Hayes J M, Hieshima G B, et al. Terminal Proterozoic reorganization of biogeochemical cycles[J]. Nature, 1995, 376(6535): 53-56.
- [12] Li Y F, Zhang T W, Shen B J, et al. Carbon and sulfur isotope variations through the Upper Ordovician and Lower Silurian of South China linked to volcanism[J]. Palaeogeography, Palaeoclimatology, Palaeoecology, 2021, 567: 110285.
- [13] Li C, Zhang Z H, Jin C S, et al. Spatiotemporal evolution and causes of marine euxinia in the Early Cambrian Nanhua Basin

- (South China)[J]. *Palaeogeography, Palaeoclimatology, Palaeoecology*, 2020, 546: 109676.
- [14] Chang H J, Chu X L, Feng L J, et al. Marine redox stratification on the earliest Cambrian (ca. 542–529 Ma) Yangtze Platform[J]. *Palaeogeography, Palaeoclimatology, Palaeoecology*, 2018, 504: 75-85.
- [15] Cheng M, Li C, Zhou L, et al. Marine Mo biogeochemistry in the context of dynamically euxinic mid-depth waters: A case study of the Lower Cambrian Niutitang shales, South China[J]. *Geochimica et Cosmochimica Acta*, 2016, 183: 79-93.
- [16] Jin C S, Li C, Algeo T J, et al. A highly redox-heterogeneous ocean in South China during the Early Cambrian (~529–514 Ma): Implications for biota-environment co-evolution[J]. *Earth and Planetary Science Letters*, 2016, 441: 38-51.
- [17] Feng L J, Li C, Huang J, et al. A sulfate control on marine mid-depth euxinia on the Early Cambrian (ca. 529–521 Ma) Yangtze platform, South China[J]. *Precambrian Research*, 2014, 246: 123-133.
- [18] Liu Y, Magnall J M, Gleeson S A, et al. Spatio-temporal evolution of ocean redox and nitrogen cycling in the Early Cambrian Yangtze ocean[J]. *Chemical Geology*, 2020, 554: 119803.
- [19] Algeo T J, Li C. Redox classification and calibration of redox thresholds in sedimentary systems[J]. *Geochimica et Cosmochimica Acta*, 2020, 287: 8-26.
- [20] Poulton S W, Canfield D E. Ferruginous conditions: a dominant feature of the ocean through Earth's history[J]. *Elements*, 2011, 7(2): 107-112.
- [21] 王丹, 朱祥坤, 凌洪飞. 氮的生物地球化学循环及氮同位素指标在古海洋环境研究中的应用[J]. *地质学报*, 2015, 89(增刊 1): 74-76. [Wang Dan, Zhu Xiangkun, Ling Hongfei. Nitrogen biogeochemical cycling and application of nitrogen isotope proxy to the paleo-marine environment[J]. *Acta Geological Sinica*, 2015, 87(Suppl. 1):74-76.]
- [22] Devol A H. Denitrification, anammox, and N₂ production in marine sediments[J]. *Annual Review of Marine Science*, 2015, 7: 403-423.
- [23] Ader M, Thomazo C, Sansjofre P, et al. Interpretation of the nitrogen isotopic composition of Precambrian sedimentary rocks: Assumptions and perspectives[J]. *Chemical Geology*, 2016, 429: 93-110.
- [24] Wu Y W, Tian H, Jia W L, et al. Nitrogen isotope evidence for stratified ocean redox structure during Late Ediacaran to Cambrian Age 3 in the Yangtze Block of South China[J]. *Chemical Geology*, 2022, 589: 120679.
- [25] Chen Y, Diamond C W, Stüeken E E, et al. Coupled evolution of nitrogen cycling and redoxline dynamics on the Yangtze Block across the Ediacaran–Cambrian transition[J]. *Geochimica et Cosmochimica Acta*, 2019, 257: 243-265.
- [26] Xiang L, Schoepfer S D, Zhang H, et al. Evolution of primary producers and productivity across the Ediacaran-Cambrian transition[J]. *Precambrian Research*, 2018, 313: 68-77.
- [27] Wei G Y, Ling H F, Li D, et al. Marine redox evolution in the Early Cambrian Yangtze shelf margin area: Evidence from trace elements, nitrogen and sulphur isotopes[J]. *Geological Magazine*, 2017, 154(6): 1344-1359.
- [28] Wang D, Struck U, Ling H F, et al. Marine redox variations and nitrogen cycle of the Early Cambrian southern margin of the Yangtze Platform, South China: Evidence from nitrogen and organic carbon isotopes[J]. *Precambrian Research*, 2015, 267: 209-226.
- [29] Hammarlund E U, Gaines R R, Prokopenko M G, et al. Early Cambrian oxygen minimum zone-like conditions at Chengjiang[J]. *Earth and Planetary Science Letters*, 2017, 475: 160-168.
- [30] Cremonese L, Shields-Zhou G, Struck U, et al. Marine biogeochemical cycling during the Early Cambrian constrained by a nitrogen and organic carbon isotope study of the Xiaotan section, South China[J]. *Precambrian Research*, 2013, 225: 148-165.
- [31] Wang H Z, Wang D, Wei G Y, et al. Increases in marine environmental heterogeneity during the early animal innovations: Evidence from nitrogen isotopes in South China[J]. *Precambrian Research*, 2022, 369: 106501.
- [32] Xu D T, Wang X Q, Shi X Y, et al. Nitrogen cycle perturbations linked to metazoan diversification during the Early Cambrian[J]. *Palaeogeography, Palaeoclimatology, Palaeoecology*, 2020, 538: 109392.
- [33] Stüeken E E, Kipp M A, Koehler M C, et al. The evolution of Earth's biogeochemical nitrogen cycle[J]. *Earth-Science Reviews*, 2016, 160: 220-239.
- [34] Dalsgaard T, Thamdrup B, Farias L, et al. Anammox and denitrification in the oxygen minimum zone of the eastern South

- Pacific[J]. *Limnology and Oceanography*, 2012, 57(5): 1331-1346.
- [35] Zhao G C, Wang Y J, Huang B C, et al. Geological reconstructions of the East Asian blocks: From the breakup of Rodinia to the assembly of Pangea[J]. *Earth-Science Reviews*, 2018, 186: 262-286.
- [36] Gao P, Li S J, Lash G G, et al. Stratigraphic framework, redox history, and organic matter accumulation of an Early Cambrian intraplatform Basin on the Yangtze Platform, South China[J]. *Marine and Petroleum Geology*, 2021, 130: 105095.
- [37] Yeasmin R, Chen D Z, Fu Y, et al. Climatic-oceanic forcing on the organic accumulation across the shelf during the Early Cambrian (Age 2 through 3) in the mid-Upper Yangtze Block, NE Guizhou, South China[J]. *Journal of Asian Earth Sciences*, 2017, 134: 365-386.
- [38] Charvet J. The Neoproterozoic–Early Paleozoic tectonic evolution of the South China Block: An overview[J]. *Journal of Asian Earth Sciences*, 2013, 74: 198-209.
- [39] Steiner M, Li G X, Qian Y, et al. Neoproterozoic to Early Cambrian small shelly fossil assemblages and a revised biostratigraphic correlation of the Yangtze Platform (China)[J]. *Palaeogeography, Palaeoclimatology, Palaeoecology*, 2007, 254(1/2): 67-99.
- [40] Jiang G Q, Wang X Q, Shi X Y, et al. The origin of decoupled carbonate and organic carbon isotope signatures in the Early Cambrian (ca. 542–520 Ma) Yangtze platform[J]. *Earth and Planetary Science Letters*, 2012, 317-318: 96-110.
- [41] Wang N, Wen L, Li M J, et al. The origin of abnormally ^{13}C -depleted organic carbon isotope signatures in the Early Cambrian Yangtze Platform[J]. *Marine and Petroleum Geology*, 2021, 128: 105051.
- [42] Och L M, Cremonese L, Shields-Zhou G A, et al. Palaeoceanographic controls on spatial redox distribution over the Yangtze Platform during the Ediacaran-Cambrian transition[J]. *Sedimentology*, 2016, 63(2): 378-410.
- [43] Wang J G, Chen D Z, Yan D T, et al. Evolution from an anoxic to oxic deep ocean during the Ediacaran–Cambrian transition and implications for bioradiation[J]. *Chemical Geology*, 2012, 306-307: 129-138.
- [44] Goldberg T, Strauss H, Guo Q J, et al. Reconstructing marine redox conditions for the Early Cambrian Yangtze Platform: Evidence from biogenic sulphur and organic carbon isotopes[J]. *Palaeogeography, Palaeoclimatology, Palaeoecology*, 2007, 254(1/2): 175-193.
- [45] Jin C S, Li C, Algeo T J, et al. Controls on organic matter accumulation on the early-Cambrian western Yangtze Platform, South China[J]. *Marine and Petroleum Geology*, 2020, 111: 75-87.
- [46] Och L M, Shields-Zhou G A, Poulton S W, et al. Redox changes in Early Cambrian black shales at Xiaotan section, Yunnan province, South China[J]. *Precambrian Research*, 2013, 225: 166-189.
- [47] Compston W, Zhang Z C, Cooper J A, et al. Further SHRIMP geochronology on the Early Cambrian of South China[J]. *American Journal of Science*, 2008, 308(4): 399-420.
- [48] Zhao L, Liu S G, Li G Q, et al. Sedimentary environment and enrichment of organic matter during the deposition of Qiongzhusi Formation in the upslope areas—A case study of W207 well in the Weiyuan area, Sichuan Basin, China[J]. *Frontiers in Earth Science*, 2022, 10: 867616.
- [49] Canfield D E, Raiswell R, Westrich J T, et al. The use of chromium reduction in the analysis of reduced inorganic sulfur in sediments and shales[J]. *Chemical Geology*, 1986, 54(1/2): 149-155.
- [50] Poulton S W, Canfield D E. Development of a sequential extraction procedure for iron: Implications for iron partitioning in continentally derived particulates[J]. *Chemical Geology*, 2005, 214(3/4): 209-221.
- [51] Zhang T, Li Y F, Fan T L, et al. Orbitally-paced climate change in the Early Cambrian and its implications for the history of the Solar System[J]. *Earth and Planetary Science Letters*, 2022, 583: 117420.
- [52] 金承胜, 李超, 彭兴芳, 等. 华南寒武纪早期海洋化学状态的时空波动[J]. *中国科学 (D辑): 地球科学*, 2014, 44 (5): 851-863. [Jin Chengsheng, Li Chao, Peng Xingfang, et al. Spatiotemporal variability of ocean chemistry in the Early Cambrian[J]. *Science China (Seri. D): Earth Sciences*, 2014, 44(5): 851-863.]
- [53] Canfield D E, Poulton S W, Knoll A H, et al. Ferruginous conditions dominated later Neoproterozoic deep-water chemistry[J]. *Science*, 2008, 321(5891): 949-952.
- [54] Clarkson M O, Poulton S W, Guilbaud R, et al. Assessing the utility of Fe/Al and Fe-speciation to record water column redox

- conditions in carbonate-rich sediments[J]. *Chemical Geology*, 2014, 382: 111-122.
- [55] Raiswell R, Canfield D E. The iron biogeochemical cycle past and present[J]. *Geochemical Perspectives*, 2012, 1(1): 1-220.
- [56] Hollander D J, Smith M A. Microbially mediated carbon cycling as a control on the $\delta^{13}\text{C}$ of sedimentary carbon in eutrophic Lake Mendota (USA): New models for interpreting isotopic excursions in the sedimentary record[J]. *Geochimica et Cosmochimica Acta*, 2001, 65(23): 4321-4337.
- [57] Zhai L N, Wu C D, Ye Y T, et al. Fluctuations in chemical weathering on the Yangtze Block during the Ediacaran–Cambrian transition: Implications for paleoclimatic conditions and the marine carbon cycle[J]. *Palaeogeography, Palaeoclimatology, Palaeoecology*, 2018, 490: 280-292.
- [58] Chang C, Hu W X, Wang X L, et al. Nitrogen isotope evidence for an oligotrophic shallow ocean during the Cambrian Stage 4[J]. *Geochimica et Cosmochimica Acta*, 2019, 257: 49-67.
- [59] Robinson R S, Kienast M, Albuquerque A L, et al. A review of nitrogen isotopic alteration in marine sediments[J]. *Paleoceanography*, 2012, 27(4): PA4203.
- [60] Ader M, Sansjofre P, Halverson G P, et al. Ocean redox structure across the Late Neoproterozoic Oxygenation Event: A nitrogen isotope perspective[J]. *Earth and Planetary Science Letters*, 2014, 396: 1-13.
- [61] Calvert S E. Beware intercepts: Interpreting compositional ratios in multi-component sediments and sedimentary rocks[J]. *Organic Geochemistry*, 2004, 35(8): 981-987.
- [62] Kenrick P, Crane P R. The origin and early evolution of plants on land[J]. *Nature*, 1997, 389(6646): 33-39.
- [63] Wang Z F, Chang C, Zhang X L, et al. Possible response of N_2O emission to marine redox fluctuation during the Ediacaran-Cambrian transition in Nanhua Basin, South China[J]. *Precambrian Research*, 2021, 365: 106409.
- [64] Macko S A, Estep M L F, Engel M H, et al. Kinetic fractionation of stable nitrogen isotopes during amino acid transamination[J]. *Geochimica et Cosmochimica Acta*, 1986, 50(10): 2143-2146.
- [65] Sigman D M, Karsh K L, Casciotti K L. Ocean process tracers: Nitrogen isotopes in the ocean[M]//Steele J H, Thorpe S A, Turekian K K. *Encyclopedia of ocean sciences*. 2nd ed. San Diego: Academic Press, 2009: 4138-4153.
- [66] Cremonese L, Shields-Zhou G A, Struck U, et al. Nitrogen and organic carbon isotope stratigraphy of the Yangtze Platform during the Ediacaran–Cambrian transition in South China[J]. *Palaeogeography, Palaeoclimatology, Palaeoecology*, 2014, 398: 165-186.
- [67] Kikumoto R, Tahata M, Nishizawa M, et al. Nitrogen isotope chemostratigraphy of the Ediacaran and Early Cambrian platform sequence at Three Gorges, South China[J]. *Gondwana Research*, 2014, 25(3): 1057-1069.
- [68] Wei G Y, Planavsky N J, Tarhan L G, et al. Marine redox fluctuation as a potential trigger for the Cambrian explosion[J]. *Geology*, 2018, 46(7): 587-590.
- [69] Guo Q J, Strauss H, Zhu M Y, et al. High resolution organic carbon isotope stratigraphy from a slope to basinal setting on the Yangtze Platform, South China: Implications for the Ediacaran–Cambrian transition[J]. *Precambrian Research*, 2013, 225: 209-217.
- [70] He T C, Zhu M Y, Mills B J W, et al. Possible links between extreme oxygen perturbations and the Cambrian radiation of animals[J]. *Nature Geoscience*, 2019, 12(6): 468-474.
- [71] Liu Z X, Yan D T, Yuan D E, et al. Multiple controls on the organic matter accumulation in Early Cambrian marine black shales, Middle Yangtze Block, South China[J]. *Journal of Natural Gas Science and Engineering*, 2022, 100: 104454.
- [72] Chen L, Zhang B M, Chen X H, et al. Depositional environment and organic matter accumulation of the Lower Cambrian Shuijingtuo Formation in the Middle Yangtze area, China[J]. *Journal of Petroleum Science and Engineering*, 2022, 208: 109339.
- [73] Sweere T, van den Boorn S, Dickson A J, et al. Definition of new trace-metal proxies for the controls on organic matter enrichment in marine sediments based on Mn, Co, Mo and Cd concentrations[J]. *Chemical Geology*, 2016, 441: 235-245.
- [74] Wang D, Ling H F, Struck U, et al. Publisher correction: Coupling of ocean redox and animal evolution during the Ediacaran-Cambrian transition[J]. *Nature Communications*, 2018, 9(1): 3395.
- [75] Zhu M, Zhuravlev A Y, Wood R A, et al. A deep root for the Cambrian explosion: Implications of new bio- and chemostratigraphy from the Siberian Platform[J]. *Geology*, 2017, 45(5): 459-462.

Nitrogen Cycle and Paleoenvironmental Implications in the Weiyuan Area, Southern Sichuan During the Early Cambrian

CAO GuangYao^{1,2}, LIU Yu^{1,2,3}, HOU MingCai^{1,3,4}, CHEN AnQing^{1,3}, XU ShengLin^{1,3}

1. Institute of Sedimentary Geology, Chengdu University of Technology, Chengdu 610059, China

2. International Center for Sedimentary Geochemistry and Biogeochemistry Research, Chengdu University of Technology, Chengdu 610059, China

3. State Key Laboratory of Oil and Gas Reservoir Geology and Exploitation, Chengdu University of Technology, Chengdu 610059, China

4. Key Laboratory of Deep-time Geography and Environment Reconstruction and Applications of Ministry of Natural Resources, Chengdu University of Technology, Chengdu 610059, China

Abstract: The Early Cambrian was a key period of early animal radiation and marine chemistry evolution in geological history. **Objective** To understand oceanic redox evolution and the nitrogen cycle in southern Sichuan during the Early Cambrian. **Methods** The iron speciation and nitrogen and sulfur isotopes in the Qiongzhusi Formation in the Weiyuan area of the Upper Yangtze were analyzed. **Results** The results show that the sedimentary environment of the Weiyuan area experienced several redox transitions influenced by coeval sea-level fluctuations during the Early Cambrian. In Cambrian Stage 2, the bottom anoxic water expanded to the shallow water shelf, and strong denitrification led to the continuous consumption of NO_3^- in the seawater, which eventually led to the nitrogen cycle being dominated by biological nitrogen fixation. Synchronously, the lower $\delta^{15}\text{N}$ values reflect the relatively low productivity level in Cambrian Stage 2. The obvious $\delta^{15}\text{N}$ positive excursion in Cambrian Stage 3 indicates the stepwise expansion of an NO_3^- reservoir and the extension of surface oxygenation seawater.

Conclusions The organic matter accumulation in the Qiongzhusi Formation in the Weiyuan area was controlled by redox conditions, where the severe anoxia caused by transgression resulted in three significant organic matter accumulations. The redox conditions, nitrogen cycle, and accumulation of organic matter were controlled by sea level eustasy in the inner shelf areas of South China during the Early Cambrian.

Key words: Qiongzhusi Formation; nitrogen isotope; iron speciation; redox; organic matter